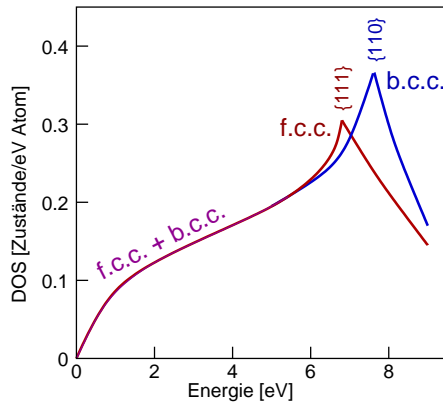
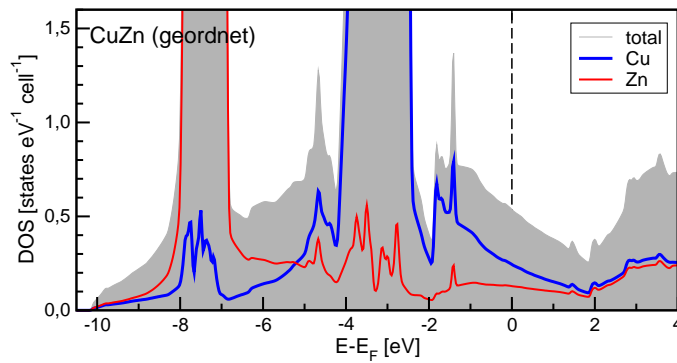


4. Hume-Rothery-Phasen (A2-B1) (Fortsetzung)

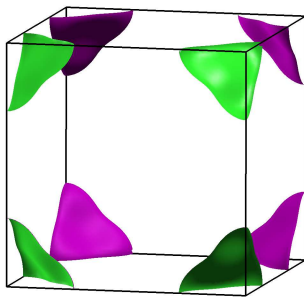
4.3. Chemische Bindung



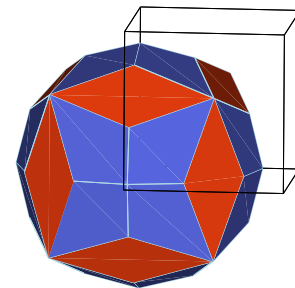
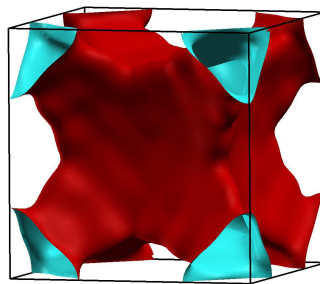
Schematischer Verlauf der DOS im f.c.c. und im b.c.c.-Gitter



DOS von  $\beta$ -Messing (Wien2k-Rechnung, 1000 k-Punkte, PBE-GGA)

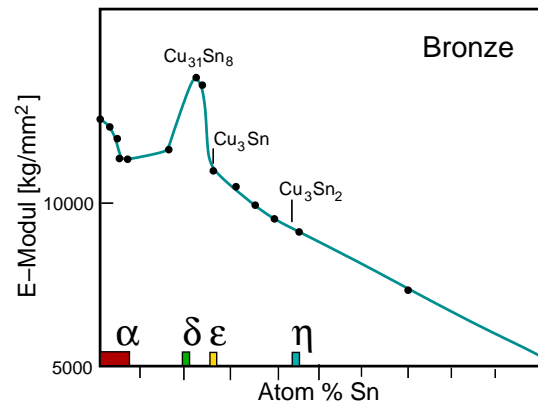
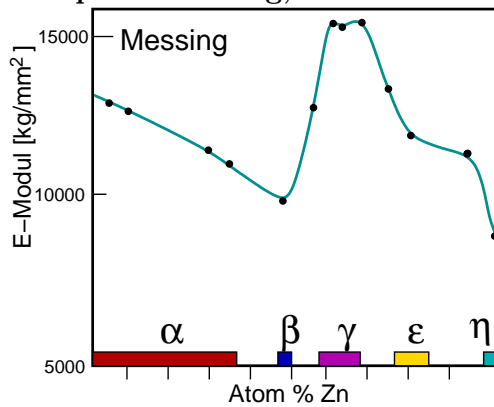


Fermiflächen von  $\beta$ -Messing



Jones-Zone von  $\gamma$ -Messing

4.4. Beispiele: Messing, Bronze



E-Module von Messing (links) und Bronze (rechts)